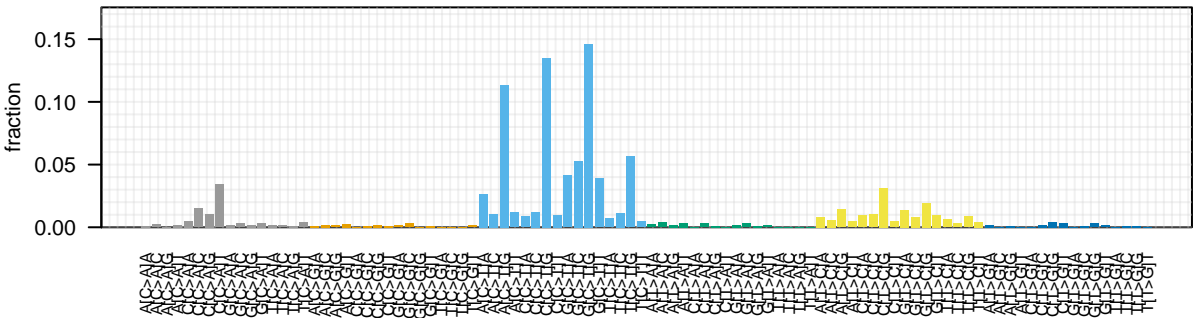
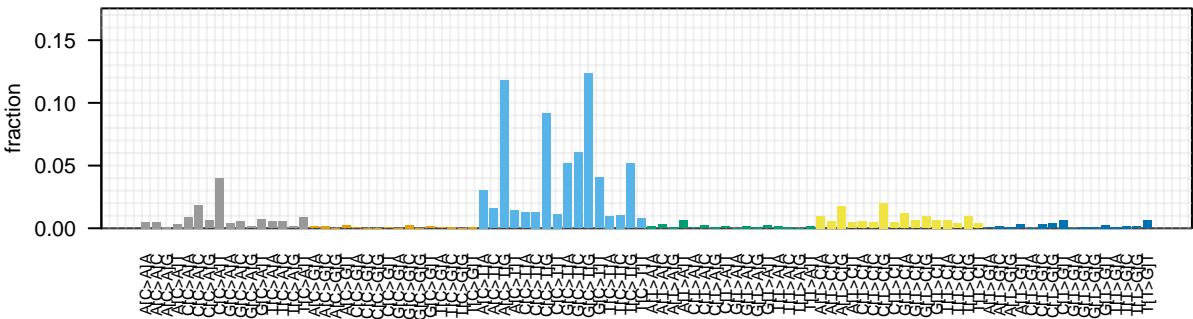


22RV1_PROSTATE -- signatures.nature2013

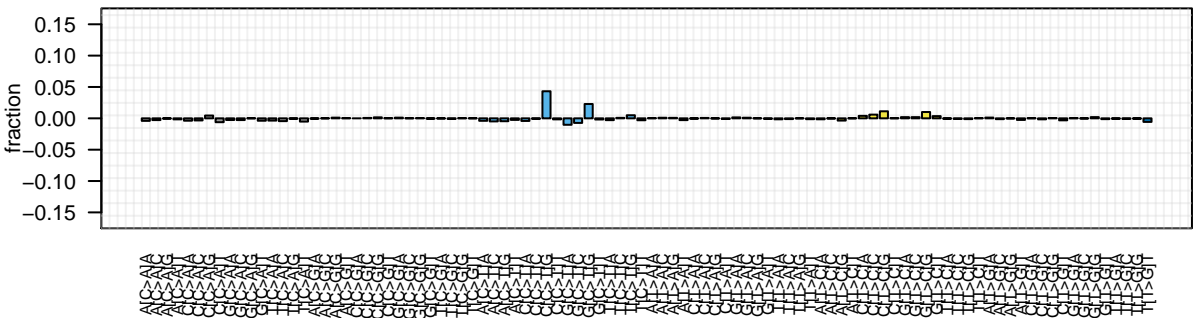


Signature.1A : 0.339 & Signature.6 : 0.661

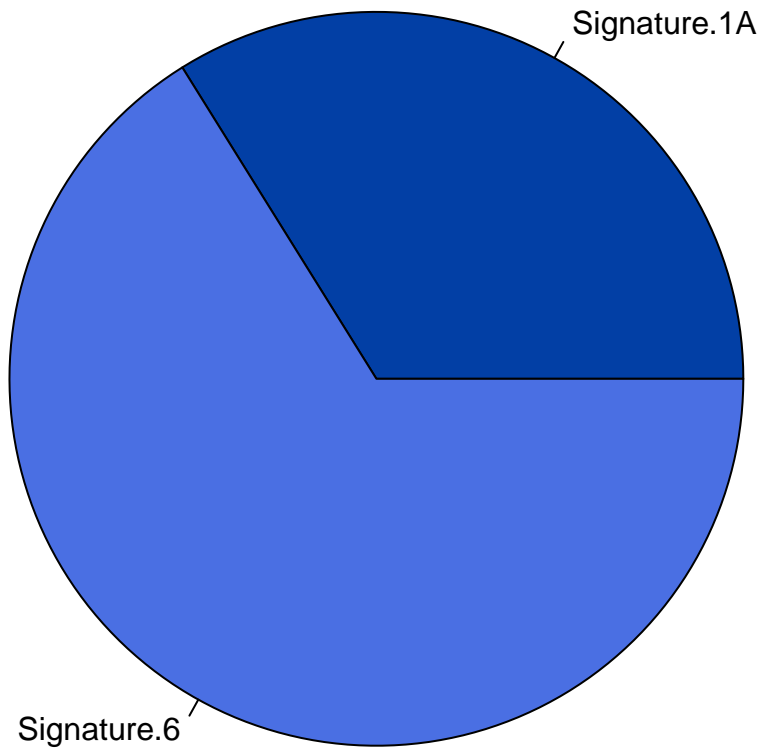


C>A
C>G
C>T
T>A
T>C
T>G

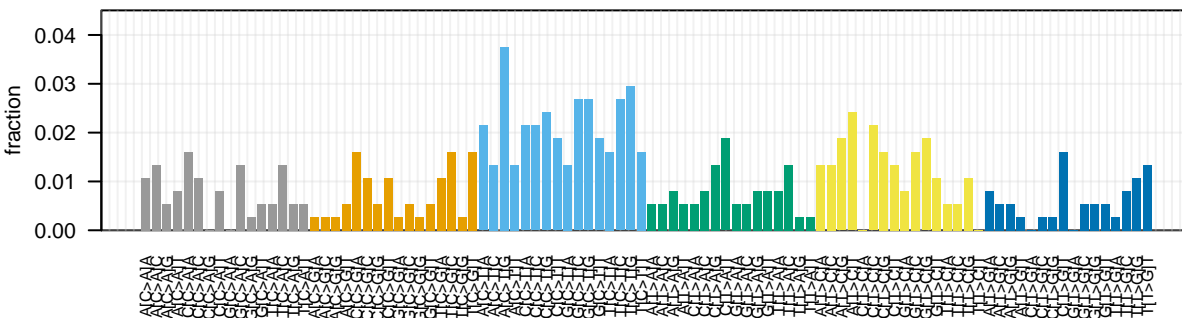
error = 0.057



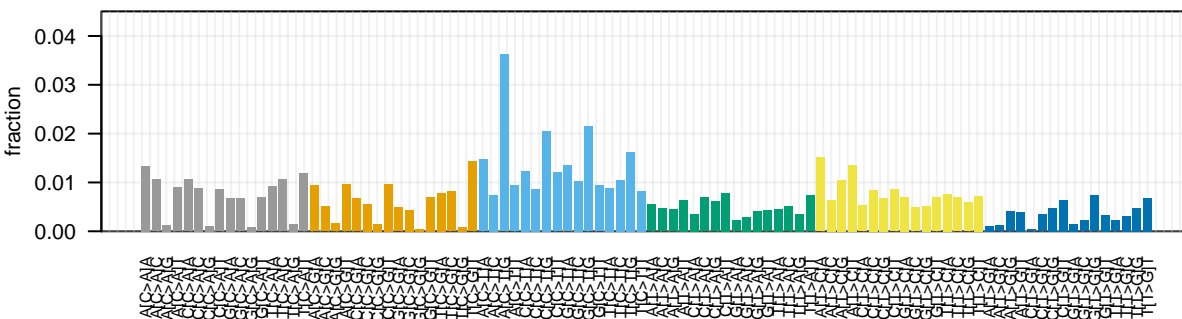
22RV1_PROSTATE -- signatures.nature2013



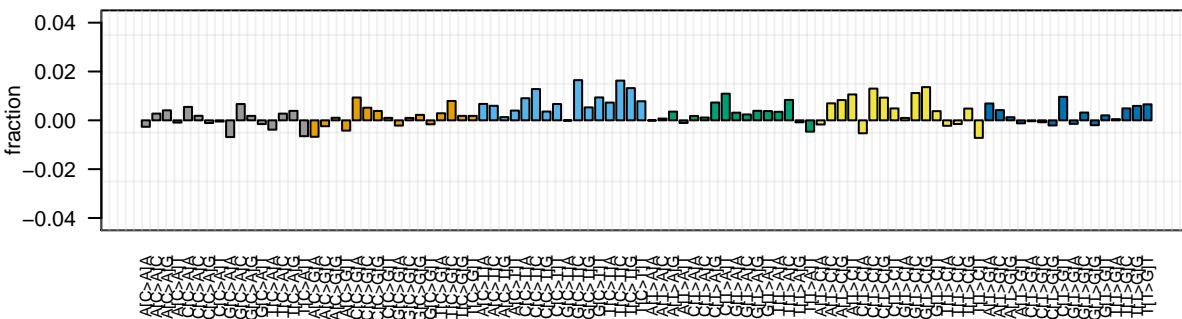
253J_URINARY_TRACT -- signatures.nature2013



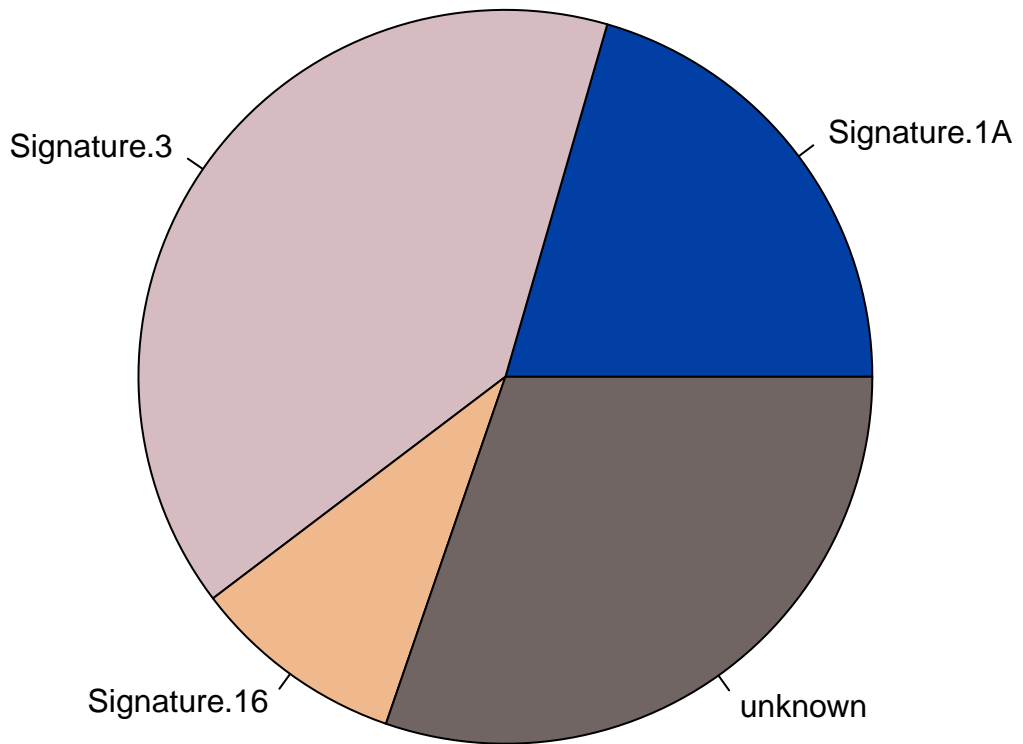
Signature.1A : 0.205 & Signature.3 : 0.398 & Signature.16 : 0.094



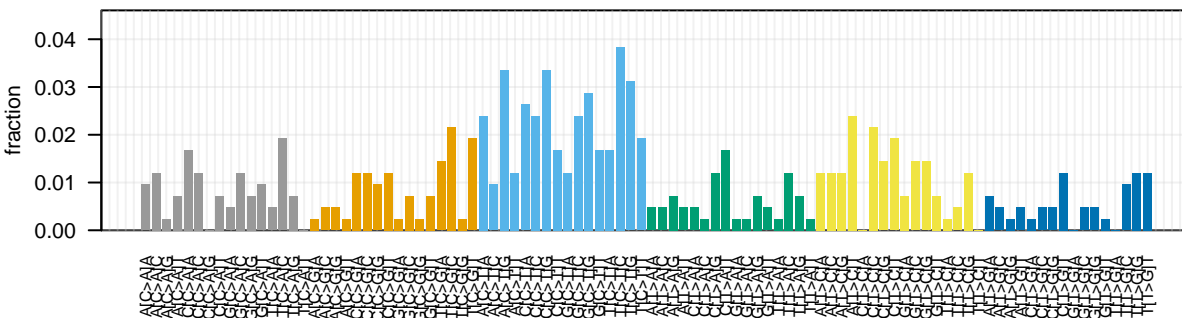
error = 0.059



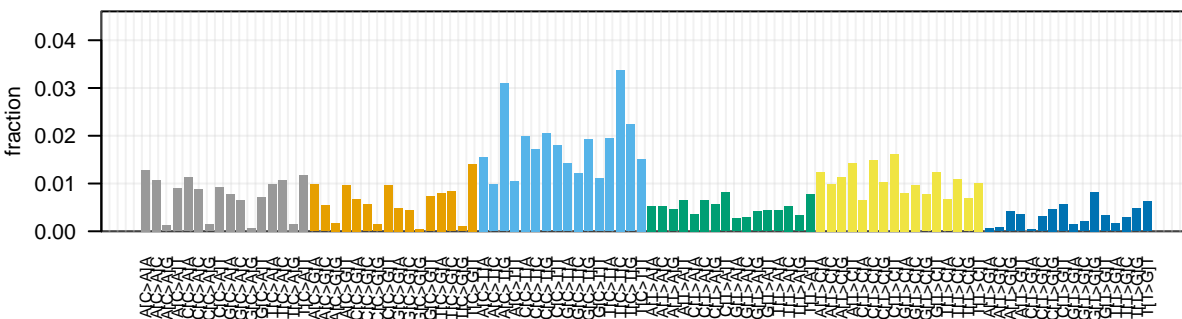
253J_URINARY_TRACT -- signatures.nature2013



253JBV_URINARY_TRACT -- signatures.nature2013

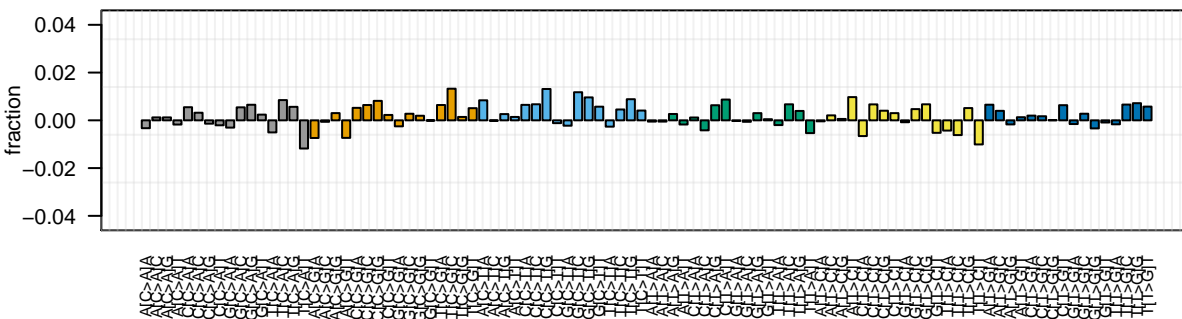


nature.1A : 0.136 & Signature.1B : 0.096 & Signature.3 : 0.414 & Signature.7 : 0.077 & Signature.R3

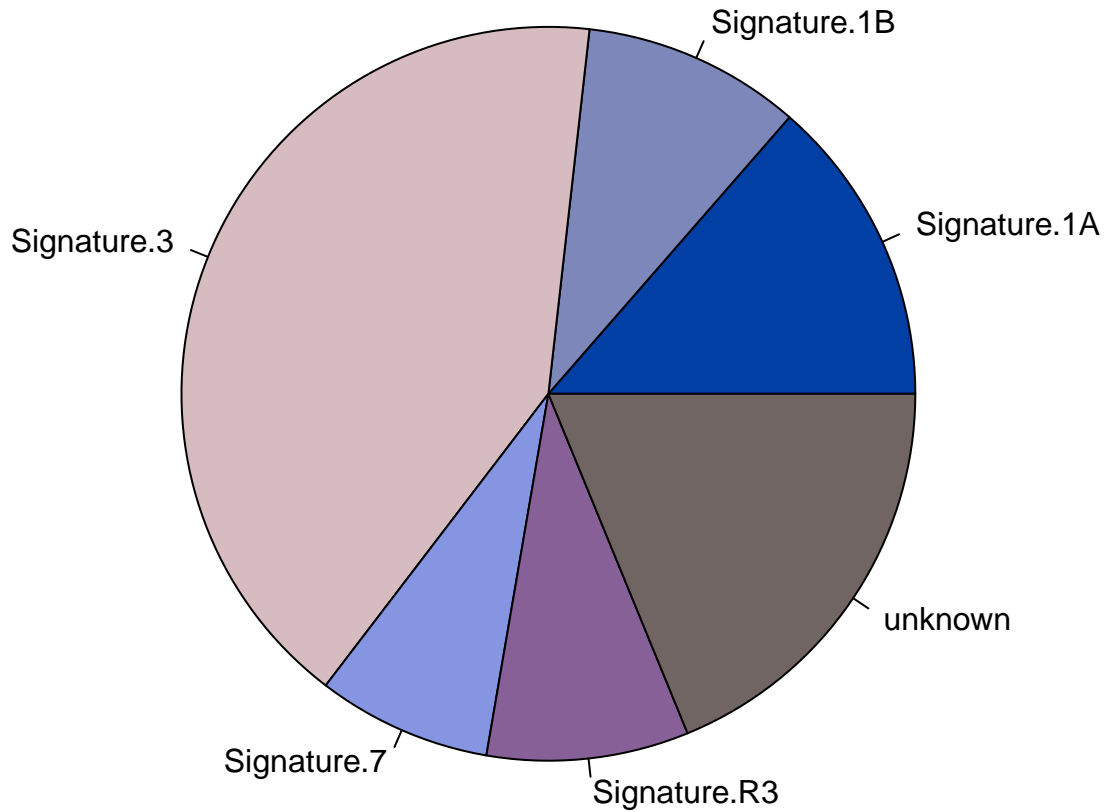


C>A
C>G
C>T
T>A
T>C
T>G

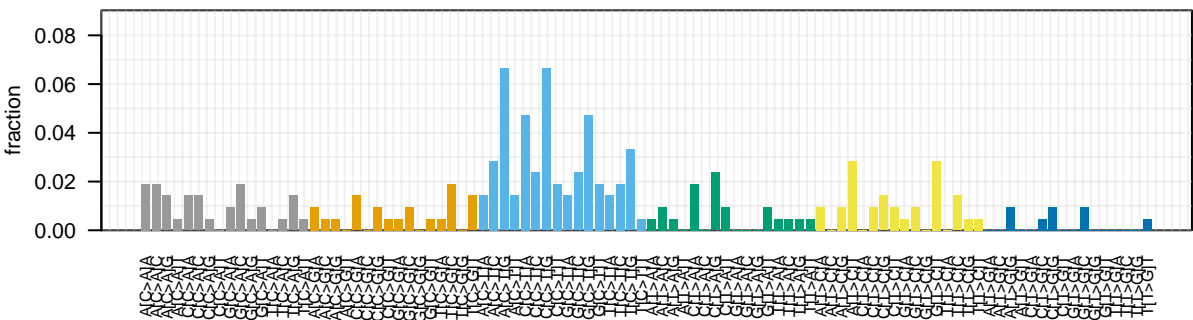
error = 0.052



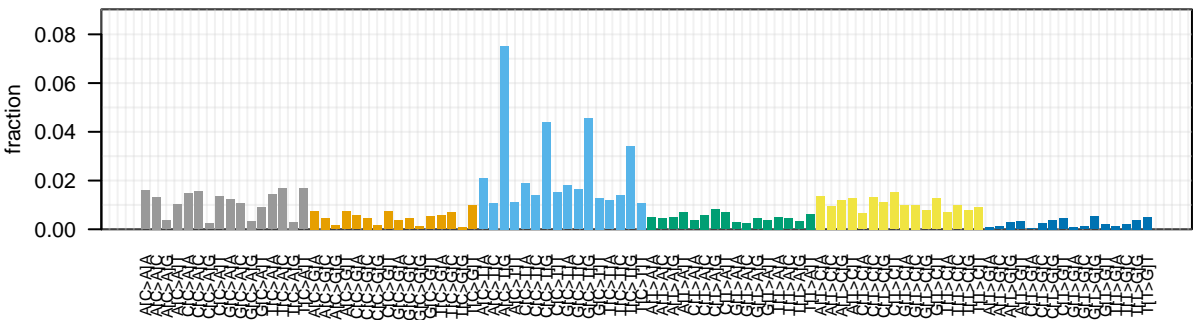
253JBV_URINARY_TRACT -- signatures.nature2013



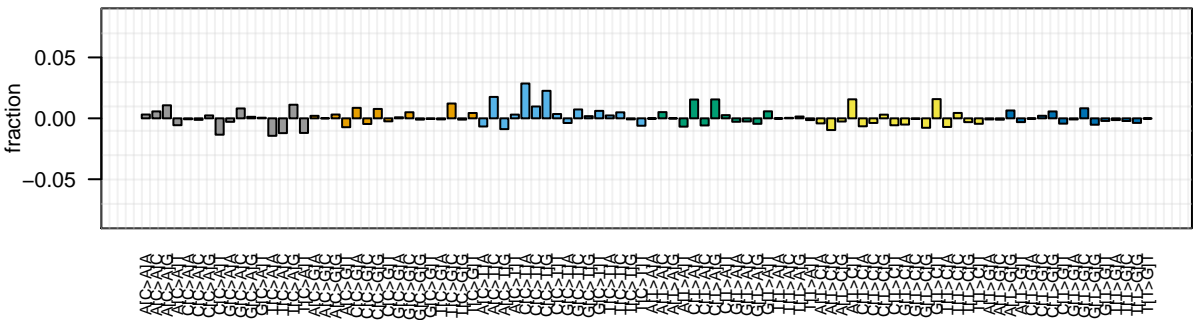
ACCMESO1_PLEURA -- signatures.nature2013



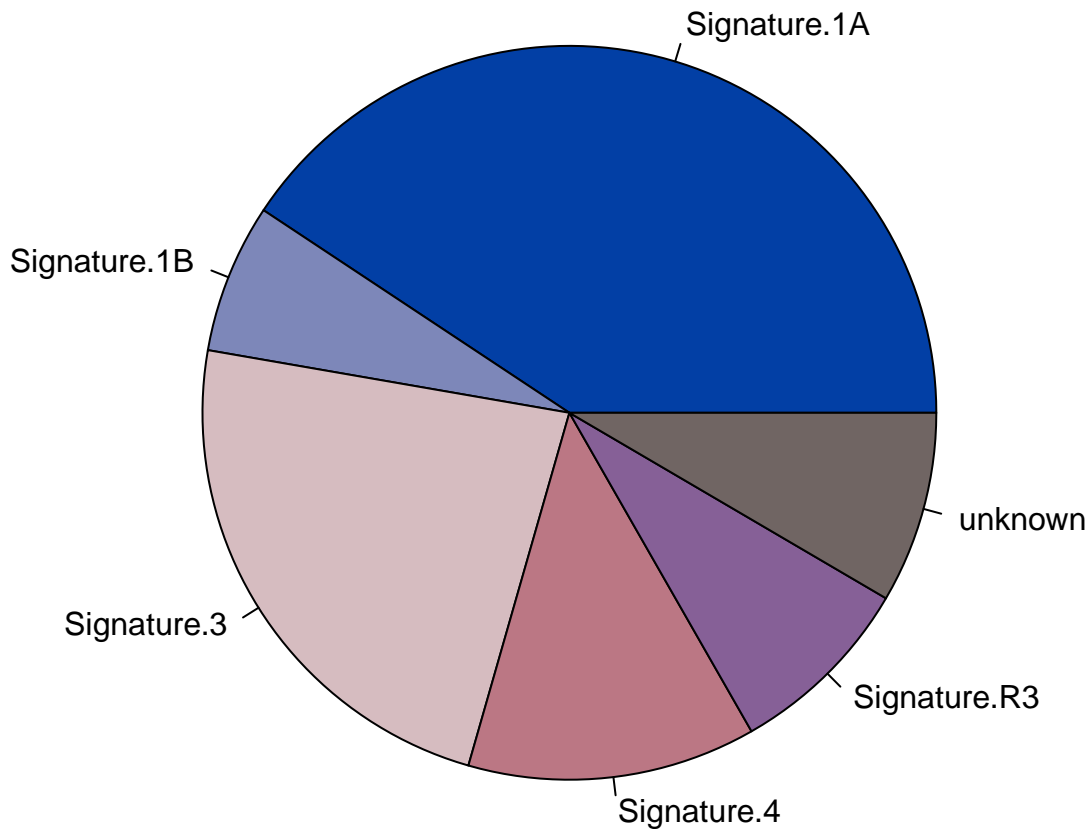
nature.1A : 0.407 & Signature.1B : 0.066 & Signature.3 : 0.233 & Signature.4 : 0.127 & Signature.R3



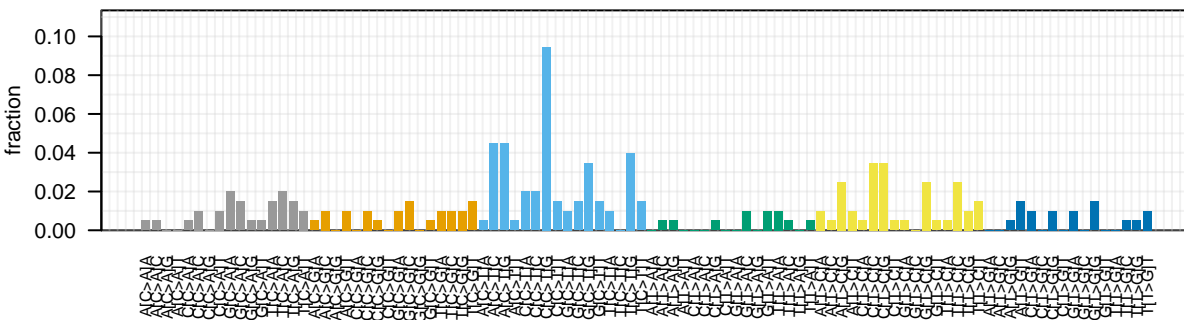
error = 0.073



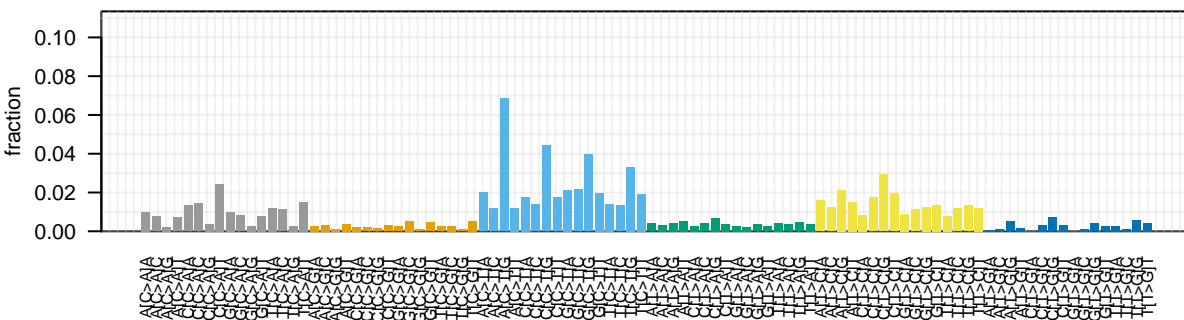
ACCMESO1_PLEURA -- signatures.nature2013



ALLSIL_HAEMATOPOIETIC_AND_LYMPHOID_TISSUE -- signatures.nature2013



0.304 & Signature.1B : 0.161 & Signature.4 : 0.076 & Signature.20 : 0.141 & Signature.R3 : 0.112 & S



C>A
C>G
C>T
T>A
T>C
T>G

